



БИООРГАНИЧЕСКАЯ ХИМИЯ

том 8 • № 1 • 1982

УДК 547.964.4.02:539.26

КРИСТАЛЛИЧЕСКАЯ И МОЛЕКУЛЯРНАЯ СТРУКТУРА ЦИКЛИЧЕСКОГО ДОДЕКАДЕПСИПЕТИДА *cyclo[-Val-Hyi-D-Val-D-Hyi-(D-Val-Hyi-Val-D-Hyi)₂]-2C₃H₆O*

Плетнев В. З., Попович В. А., Юркова Е. В.

Институт биоорганической химии им. М. М. Шемякина
Академии наук СССР, Москва

Van Ruy P., Smith G. D., Djonkic B. L.

Медицинский Институт Буффало, США

Применяя рентгеновскими методами определена кристаллическая структура синтетического аналога *мезо*-валиномицина – *cyclo[-Val-Hyi-D-Val-D-Hyi-(D-Val-Hyi-Val-D-Hyi)₂]* ($C_{60}H_{102}N_6O_{18}$), кристаллизующегося с двумя молекулами ацетона. Кристаллы триклинические, пространственная группа $P1$, число молекул на ячейку $Z1$, параметры ячеек $a = 10,701$, $b = 11,016$, $c = 18,458 \text{ \AA}$, $\alpha = 83,786^\circ$, $\beta = 66,415^\circ$, $\gamma = 87,826^\circ$. Величины стандартного (R) и взвешенного (R_w) факторов расходимости после уточнения по атомам С, N и O с учетом вкладов от атомов H равны соответственно 0,081 и 0,109. Молекула имеет асимметричную вытянутую форму с двумя β -изгибами, стабилизированными двумя сильными водородными связями типа $4\rightarrow 1$ и одной слабой связью $5\rightarrow 1$. Карбонильные группы и боковые цепи характеризуются различными ориентациями по отношению к циклическому остову молекулы. В отличие от *мезо*-Нуи-валиномицина свободная форма исследуемого аналога характеризуется отсутствием специфического центра связывания ионов металлов.

Интенсивные исследования пространственных структур валиномицина и его аналогов, различающихся природой и конфигурацией отдельных остатков [1–12], вызваны способностью многих представителей данного ряда избирательно связывать ионы металлов и индуцировать их транспорт через искусственные и биологические мембранны. Систематические структурные исследования этих соединений позволяют не только оценить потенциальные возможности валиномициновой цепи, но и путем установления взаимосвязи между их структурой и функцией получить ценную информацию, необходимую для понимания тонких деталей механизма функционирования этих биологически важных молекул.

Ранее рентгеновскими методами были установлены полные пространственные структуры валиномицина и серии его синтетических аналогов [3–11].

В настоящей работе представлены результаты рентгеноструктурных исследований синтетического производного *мезо*-Нуи-валиномицина с измененной конфигурацией остатков в первом и третьем положениях – *cyclo[-Val¹-Hyi²-D-Val³-D-Hyi⁴-D-Val⁵-Hyi⁶-Val⁷-D-Hyi⁸-D-Val⁹-Hyi¹⁰-Val¹¹-D-Hyi¹²]* ([Val¹, D-Val³] *мезо*-Нуи-валиномицин) [13]. В отличие от *мезо*-Нуи-валиномицина, исключительно эффективно связывающего ионы калия в растворах, исследуемый аналог характеризуется относительно слабой комплексообразующей способностью. Константы устойчивости его K⁺-комплекса в этаноле на 3 порядка ниже, чем у *мезо*-Нуи-валиномицина, и на 2 порядка ниже, чем у природного антибиотика валиномицина [14].

На данном примере представляло интерес выяснить, какое влияние оказывает изменение конфигурационной последовательности в тетрапептидном фрагменте *мезо*-Нуи-валиномицина на пространственное строениеdepsipeptидного остова, и на основе полученных структурных данных объяснить резкое различие в свойствах обоих валиномициновых аналогов.

Координаты атомов С, N, O исследуемого соединения и двух сокри-

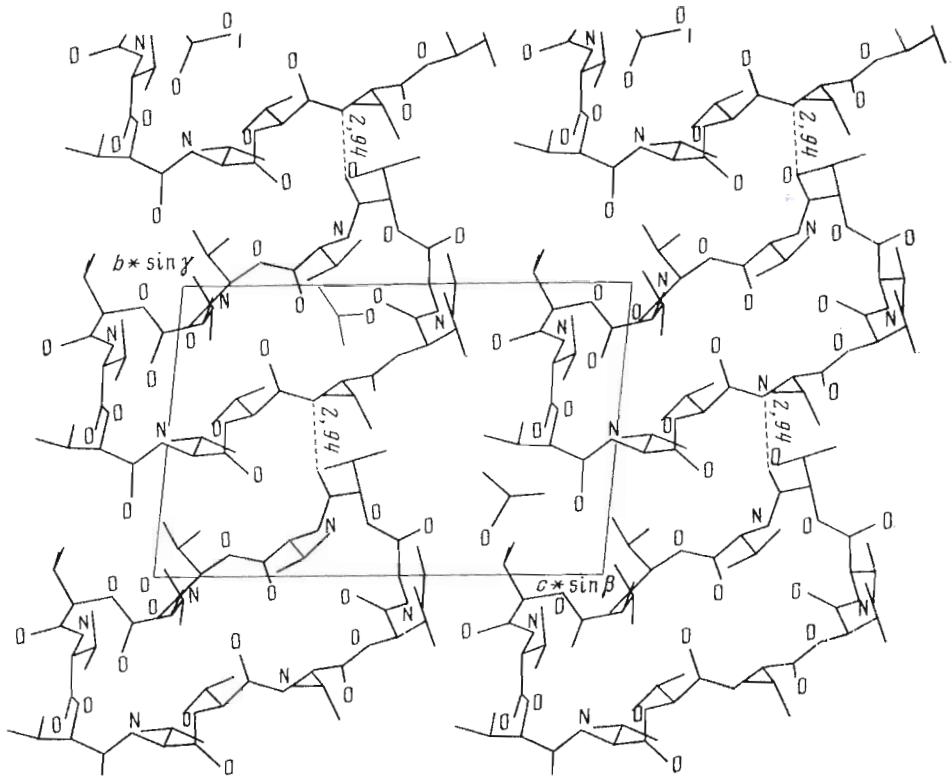


Рис. 1. Упаковка $[Val^1, D-Val^2]_{\text{мезо}}\text{-Ну-валиномицина}$ в кристаллической ячейке в проекции вдоль оси a

сталилизующихся молекул ацетона после последнего цикла уточнения приведены в табл. 1.

Упаковка молекул в кристаллической ячейке в проекции вдоль оси a показана на рис. 1. Средние плоскости молекулярных циклов в кристаллической решетке приблизительно параллельны плоскости $b-c$ ячейки. Каждая молекула циклододекадепептида в кристалле связана водородными связями с двумя соседними молекулами; ~ 20 межмолекулярных контактов характеризуются межатомными расстояниями $< 3,5 \text{ \AA}$.

Величины валентных связей и углов даны в табл. 2 и 3. Геометрические параметры имеют в основном нормальные значения, характерные для большинстваdepsipeptидных соединений (см. [15] и цитированные там работы). Исключение составляют заниженные значения валентного

угла $C_9^\alpha - C_9' - O_{10}$ ($\sim 109^\circ$) и валентных связей боковых цепей $C_8^\beta - C_6^{\gamma_2}$

и $C_9^\beta - C_9^{\gamma_1}$ ($1,463$ и $1,431 \text{ \AA}$ соответственно). В последнем случае отклонения от нормальной длины C—C-связи ($\sim 1,54 \text{ \AA}$), по-видимому, обусловлены большой амплитудой крутильных колебаний вокруг соответствующих связей $C^\alpha - C^\beta$. На это косвенным образом указывают повышенные значения изотропных температурных факторов концевых C-атомов. Величина

частично кратной сложноэфирной связи $C_5 - O_6$ основной цепи также ниже обычной ($1,305 \text{ \AA}$). Длины карбонильных связей амидных групп (большинство из них участвуют в образовании сильных водородных связей) заметно больше (в среднем на $0,04 \text{ \AA}$) длии соответствующих связей сложноэфирных групп.

Координаты и, как следствие, геометрические параметры двух сокристаллизующихся с циклодепептидом молекул ацетона были определены наименее точно. Полученные структурные данные указывают на силь-

Таблица 1

Координаты (в долях ячейки) атомов O, N, C [Val¹-D-Val²]мезо-Нуі-валиноміцинна
В скобках даны стандартные отклонения

Атом	<i>x/a</i>	<i>y/b</i>	<i>z/c</i>	Атом	<i>x/a</i>	<i>y/b</i>	<i>z/c</i>
N ₁	0,6100(9)	0,1603(8)	0,3574(7)	O ₁₁	0,3559(10)	0,1585(9)	0,5869(6)
C ₁ ^α	0,7402(10)	0,1290(9)	0,2971(6)	O ₁₂ '	0,3560(8)	0,1810(7)	0,4655(5)
C ₁ '	0,7130(10)	0,0500(10)	0,2431(7)	C ₁₂ ^α	0,4358(10)	0,2927(9)	0,4424(6)
O ₁	0,6312(10)	-0,0265(9)	0,2639(5)	C ₁₂ '	0,5740(11)	0,2752(10)	0,3749(7)
O ₂ '	0,8025(8)	0,0768(7)	0,1658(5)	O ₁₂	0,6449(9)	0,3624(8)	0,3409(6)
C ₂ ^α	0,7834(11)	0,0091(10)	0,1067(6)	C ₁ ^β	0,8338(11)	0,0651(11)	0,3358(7)
C ₂ '	0,9081(11)	-0,0643(10)	0,0645(7)	C ₁ ^{γ₁}	0,9599(12)	0,0135(11)	0,2740(8)
O ₂	0,9023(8)	-0,1410(7)	0,0222(5)	C ₁ ^{γ₂}	0,8677(12)	0,1507(11)	0,3842(8)
N ₃	1,0247(9)	-0,0392(8)	0,0736(5)	C ₂ ^β	0,7475(12)	0,1005(11)	0,0494(8)
C ₃ ^α	1,1390(10)	-0,1289(10)	0,0523(6)	C ₂ ^{γ₁}	0,6095(14)	0,1619(13)	0,0943(9)
C ₃ '	1,1941(10)	-0,1574(10)	-0,0331(6)	C ₂ ^{γ₂}	0,8579(14)	0,1982(13)	0,0079(9)
O ₃	1,2423(9)	-0,2553(8)	-0,0505(5)	C ₃ ^β	1,2520(11)	-0,0776(11)	0,0721(7)
O ₄ '	1,1842(7)	-0,0664(7)	-0,0858(5)	C ₃ ^{γ₁}	1,3528(15)	-0,1750(14)	0,0754(10)
C ₄ ^α	1,2492(10)	-0,0908(9)	-0,1696(6)	C ₃ ^{γ₂}	1,3182(15)	0,0339(13)	0,0203(9)
C ₄ '	1,1574(11)	-0,1670(9)	-0,1928(7)	C ₄ ^β	1,2818(11)	0,0318(10)	-0,2207(7)
O ₄	1,2057(9)	-0,1996(8)	-0,2606(5)	C ₄ ^{γ₁}	1,1543(11)	0,1128(11)	-0,2045(8)
N ₅	1,0328(9)	-0,1979(8)	-0,1399(5)	C ₄ ^{γ₂}	1,3959(13)	0,0968(13)	-0,2118(9)
C ₅ ^α	0,9466(12)	-0,2750(10)	-0,1589(7)	C ₅ ^β	0,7932(13)	-0,2419(12)	-0,1112(8)
C ₅ '	0,9814(16)	-0,4087(12)	-0,1522(10)	C ₅ ^{γ₁}	0,7706(17)	-0,1105(15)	-0,1296(11)
O ₅	0,9163(18)	-0,4866(12)	-0,1616(15)	C ₅ ^{γ₂}	0,7006(18)	-0,3239(17)	-0,1295(12)
O ₆ '	1,0882(9)	-0,4324(7)	-0,1358(5)	C ₆ ^β	1,2768(15)	-0,5525(14)	-0,2154(10)
C ₆ ^α	1,1440(12)	-0,5559(9)	-0,1449(7)	C ₆ ^{γ₁}	1,2593(20)	-0,5182(19)	-0,2945(14)
C ₆ '	1,1593(11)	-0,6075(10)	-0,0686(7)	C ₆ ^{γ₂}	1,3784(17)	-0,4736(16)	-0,2093(11)
O ₆	1,1956(12)	-0,7133(8)	-0,0645(6)	C ₇ ^β	1,2558(13)	-0,5190(12)	0,0775(9)
N ₇	1,4375(10)	-0,5347(8)	-0,0109(6)	C ₇ ^{γ₁}	1,2623(19)	-0,5710(18)	0,1553(13)
C ₇ ^α	1,1428(11)	-0,5833(9)	0,0644(7)	C ₇ ^{γ₂}	1,3929(17)	-0,5324(16)	0,0093(11)
C ₇ '	1,0094(11)	-0,5720(10)	0,1308(7)	C ₈ ^β	0,7234(12)	-0,3876(11)	0,1442(8)
O ₇	0,9652(10)	-0,6444(11)	0,1874(8)	C ₈ ^{γ₁}	0,6958(15)	-0,4745(15)	0,0954(10)
O ₈ '	0,9445(8)	-0,4689(7)	0,1236(5)	C ₈ ^{γ₂}	0,5868(13)	-0,3462(12)	0,2051(9)
C ₈ ^α	0,8088(11)	-0,4459(9)	0,1856(7)	C ₉ ^β	0,8929(13)	-0,3782(13)	0,4053(9)
C ₈ '	0,8346(11)	-0,3615(10)	0,2383(7)	C ₉ ^{γ₁}	0,8481(19)	-0,4950(18)	0,4491(13)
O ₈	0,9021(10)	-0,2677(9)	0,2101(6)	C ₉ ^{γ₂}	1,0351(20)	-0,3765(18)	0,3364(13)
N ₉	0,7736(9)	-0,3976(8)	0,3171(6)	C ₁₀ ^β	0,5805(12)	-0,1578(12)	0,6185(8)
C ₉ ^α	0,7873(10)	-0,3276(10)	0,3761(7)	C ₁₀ ^{γ₁}	0,6664(15)	-0,2509(14)	0,6463(10)
C ₉ '	0,6482(11)	-0,3119(10)	0,4418(7)	C ₁₀ ^{γ₂}	0,6562(14)	-0,0381(13)	0,5857(9)
O ₉	0,5430(9)	-0,3575(9)	0,4492(5)	C ₁₁ ^β	0,1067(12)	0,0025(11)	0,6054(8)
O ₁₀ '	0,6610(8)	-0,2430(7)	0,4937(5)	C ₁₁ ^{γ₁}	0,0293(17)	0,1059(15)	0,5807(11)
C ₁₀ ^α	0,5369(10)	-0,2120(9)	0,5591(6)	C ₁₁ ^{γ₂}	0,0383(13)	-0,1228(12)	0,6098(9)
C ₁₀ '	0,4603(10)	-0,1204(9)	0,5254(6)				
O ₁₀	0,5143(8)	-0,0690(8)	0,4572(5)				
N ₁₁	0,3322(9)	-0,0967(8)	0,5736(5)				
C ₁₁ ^α	0,2561(10)	-0,0022(11)	0,5474(6)				
C ₁₁ '	0,3262(10)	0,1200(11)	0,5380(7)				

Таблица I (окончание)

Атом	x/a	y/b	z/c	Атом	x/a	y/b	z/c
C_{12}^{β}	0,3604(11)	0,3970(11)	0,4196(8)	C_{3A1}	0,2992(29)	0,9943(27)	0,3029(19)
$C_{12}^{\gamma_1}$	0,3184(15)	0,3667(14)	0,3538(10)	O_{1A2}	0,7580(50)	0,1578(50)	0,7401(33)
$C_{12}^{\gamma_2}$	0,2337(14)	0,4328(14)	0,4913(10)	C_{1A2}	0,7584(47)	0,2727(44)	0,7772(32)
O_{1A1}	0,1171(19)	0,9011(16)	0,4068(12)	C_{2A2}	0,7744(53)	0,3534(53)	0,7097(35)
C_{1A1}	0,2501(25)	0,8945(23)	0,3518(16)	C_{3A2}	0,6507(64)	0,2816(55)	0,8526(42)
C_{2A1}	0,3225(18)	0,7937(17)	0,3703(12)				

Таблица 2

Валентные связи (Å) в структуре $[Val^1, D\text{-}Val^3]$ мезо-Нуи-валиномицина
В скобках даны стандартные отклонения

Связь	$L\text{-Val}$ ($i=1$)	$L\text{-Hyi}$ ($i=2$)	$D\text{-Val}$ ($i=3$)	$D\text{-Hyi}$ ($i=4$)
$C_i^{\alpha} - N_i (O'_i)$	1,452(13)	1,469(16)	1,494(13)	1,471(13)
$C_i^{\alpha} - C'_i$	1,509(18)	1,505(14)	1,510(16)	1,527(18)
$C_i^{\alpha} - C_i^{\beta}$	1,555(19)	1,532(19)	1,538(19)	1,527(14)
$C'_i - O_i$	1,157(15)	1,229(16)	1,197(14)	1,235(14)
$C'_i - O'_{i+1} (N_{i+1})$	1,370(12)	1,366(17)	1,351(14)	1,330(12)
$C_i^{\beta} - C_i^{\gamma_1}$	1,515(15)	1,546(18)	1,506(20)	1,544(16)
$C_i^{\beta} - C_i^{\gamma_2}$	1,512(22)	1,528(18)	1,482(18)	1,511(21)
Связь	$D\text{-Val}$ ($i=5,9$)	$L\text{-Hyi}$ ($i=6,10$)	$L\text{-Val}$ ($i=7,11$)	$D\text{-Hyi}$ ($i=8,12$)
$C_i^{\alpha} - N_i (O'_i)$	1,442(18) 1,457(18)	1,464(13) 1,452(14)	1,457(17) 1,457(15)	1,479(12) 1,449(13)
$C_i^{\alpha} - C'_i$	1,509(17) 1,516(13)	1,528(19) 1,513(16)	1,475(14) 1,526(17)	1,521(19) 1,528(13)
$C_i^{\alpha} - C_i^{\beta}$	1,572(16) 1,500(21)	1,493(16) 1,532(21)	1,536(21) 1,530(14)	1,497(20) 1,498(17)
$C'_i - O_i$	1,193(27) 1,201(16)	1,218(14) 1,236(13)	1,184(16) 1,191(19)	1,226(14) 1,199(13)
$C'_i - O'_{i+1} (N_{i+1})$	1,305(22) 1,336(16)	1,343(16) 1,337(12)	1,330(14) 1,351(15)	1,355(15) 1,344(18)
$C_i^{\beta} - C_i^{\gamma_1}$	1,483(21) 1,431(23)	1,551(33) 1,534(23)	1,514(29) 1,519(23)	1,496(25) 1,525(25)
$C_i^{\beta} - C_i^{\gamma_2}$	1,520(27) 1,543(21)	1,463(27) 1,509(19)	1,518(19) 1,566(20)	1,533(16) 1,544(17)

ную дезориентацию этих молекул из-за эффектов тепловых колебаний атомов; их температурные факторы в 2–5 раз выше, чем у атомов исследуемого десипептида, причем факторы, отвечающие одной молекуле ацетона, в 2 раза выше, чем у другой. В обоих случаях не представлялось возможным сделать однозначный выбор положения (среди трех возможных), отвечающего атому О; длины предполагаемых С=О-связей оказались сильно завышенными и практически не отличались от длин двух связей С–С.

Таблица 3

Валентные углы (град) в структуре [Val¹, D-Val²] мезо-Ну'-валиномицина
В столбках даны стандартные отклонения

Угол	$L\text{-Val}$ ($i=1$)	$L\text{-H}_i^1$ ($i=2$)	$D\text{-Val}$ ($i=3$)	$D\text{-H}_i^1$ ($i=4$)	$D\text{-Val}$ ($i=5$)	$L\text{-H}_i^1$ ($i=6,10$)	$L\text{-Val}$ ($i=7,11$)	$D\text{-H}_i^1$ ($i=8,12$)
$C'_{i-1} - N_i(O'_i) - C''_i$	123,4(7)	116,2(7)	119,7(8)	115,2(7)	120,7(8)	117,4(9)	120,6(8)	149,5(7)
$N_i(O'_i) - C''_i - C'_i$	108,0(9)	110,9(8)	114,3(8)	114,8(7)	113,0(9)	109,4(8)	110,9(8)	149,5(7)
$N_i(O'_i) - C''_i - C''_i$	110,8(9)	108,3(8)	107,3(8)	108,0(7)	109,2(8)	107,6(7)	107,9(8)	110,7(7)
$C''_i - C''_i - C'_i$	112,3(8)	112,4(9)	110,9(8)	110,0(8)	115,7(10)	111,9(9)	111,2(9)	142,5(9)
$C''_i - C'_i - O'_{i+1}(N_{i+1})$	117,6(8)	117,6(8)	115,5(8)	119,6(8)	114,9(10)	113,9(9)	111,7(8)	110,2(8)
$C''_i - C'_i - O_i$	125,1(8)	119,4(8)	120,4(8)	117,4(8)	109,0(8)	119,5(8)	113,7(8)	114,3(8)
$O_i - C'_i - O_{i+1}(N_{i+1})$	124,0(8)	123,0(8)	124,1(8)	123,3(8)	122,7(12)	116,5(8)	112,2(8)	123,3(10)
$C''_i - C''_i - C''_i$	111,2(9)	110,4(10)	114,3(10)	112,4(9)	122,4(13)	117,4(9)	124,0(9)	121,4(9)
$C''_i - C''_i - C''_i$	110,7(9)	112,1(10)	113,3(10)	110,9(9)	126,5(9)	121,6(8)	125,5(9)	117,1(9)
$C''_i - C''_i - C''_i$	112,6(9)	109,7(10)	112,9(10)	112,1(9)	122,7(12)	123,0(8)	122,3(9)	124,2(9)

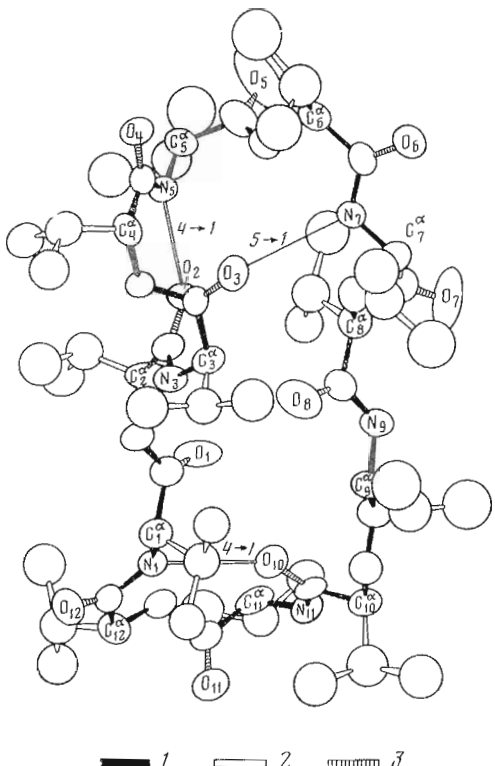


Рис. 2. Пространственная структура $[Val^1, D-Val^3]_{\text{мезо-Нуи-валиномицина}}$. 1 — связи основной цепи, 2 — связи боковых цепей, 3 — двойные связи $C=O$

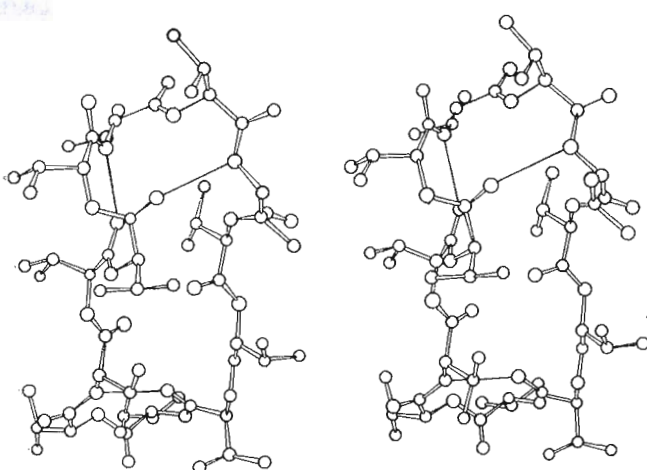


Рис. 3. Стереопара структуры $[Val^1, D-Val^3]_{\text{мезо-Нуи-валиномицина}}$

Геометрические параметры меж- и внутримолекулярных водородных связей, а также расчетные значения конформационных углов ϕ, ψ, ω, χ $[Val^1, D-Val^3]_{\text{мезо-Нуи-валиномицина}}$ приведены в табл. 4 и 5. Конформация, а также стереоскопическое изображение молекулы показаны на рис. 2 и 3.

Молекула в кристалле образует пять водородных связей, из них две — с соседними молекулами. Из трех внутримолекулярных Н-связей две относятся к типу $4 \rightarrow 1$ с участием $C=O$ амидных групп и одна к типу $5 \rightarrow 1$ с участием $C=O$ сложноэфирных групп. В отличие от сильных связей $4 \rightarrow 1$ связь $5 \rightarrow 1$ заметно ослаблена, на что указывают увеличенные (по

Параметры водородных связей N—H...O=C в кристаллической структуре
[Val¹, D-Val³]мезо-Нуи-валиномицина

Н-связь N—H...O=C	Длина, Å			Угол, град		Тип Н-связи
	N—H	H...O	N...O	N—H...O	H...O=C	

Межмолекулярные Н-связи

N ₉ —H ₉ ...O ₁₂ =C ₁₂	1,08	1,886	2,935	162,7	152,7	—
N ₁₁ —H ₁₁ ...O ₄ =C ₄	1,08	1,860	2,922	166,8	145,2	—

Внутримолекулярные Н-связи

N ₁ —H ₁ ...O ₁₀ =C ₁₀	1,08	1,973	2,916	143,9	145,2	4→1
N ₅ —H ₅ ...O ₂ =C ₂	1,08	1,822	2,880	165,3	134,2	4→1
N ₇ —H ₇ ...O ₃ =C ₃	1,08	2,368	3,223	134,9	124,8	5→1
N ₃ —H ₃ ...O ₈ =C ₈	1,08	3,837	3,262	48,8	—	Нет связи

Таблица 5:

Конформационные углы (град) * пространственной структуры
[Val¹, D-Val³]мезо-Нуи-валиномицина

Остаток	Углы					Остаток	Углы				
	φ	ψ	ω	χ ^{1,1}	χ ^{1,2}		φ	ψ	ω	χ ^{1,1}	χ ^{1,2}
L-Val ¹	-129	142	-178	171	-64	L-Val ⁷	-117	-38	180	180	-57
L-Hyi ²	-120	-13	164	-64	58	D-Hyi ⁸	99	-131	180	66	-173
D-Val ³	59	30	175	164	-68	D-Val ⁹	133	-177	177	-67	61
D-Hyi ⁴	82	3	-177	-56	70	L-Hyi ¹⁰	-72	169	175	-58	66
D-Val ⁵	80	-4	-168	57	-179	L-Val ¹¹	-65	127	-173	176	-62
L-Hyi ⁶	-128	-7	176	-67	59	D-Hyi ¹²	113	-11	-177	-56	67

* Отсчет углов проводился в соответствии с номенклатурой IUPAC — IUB, 1974 [20].

сравнению с оптимальными) расстояния N...O и H...O, а также не сколько заниженное значение угла N—H...O, соответствующее менее благоприятной взаимной ориентации связей N—H и O=C [16—19]. Исходя из сравнительно небольшой величины расстояния N₃...O₈ (3,262 Å, табл. 4), можно было бы предположить наличие слабой водородной связи N₃—H₃...O₈=C₈. Однако резко отличающиеся от нормальных расчетные значения соответствующих параметров H...O и N—H...O однозначно указывают на отсутствие таковой.

Приведенные в табл. 5 величины углов вращения вокруг частично кратных связей C'—N(C'—O') (ω) свидетельствуют о том, что в структуре исследуемого соединения амидные и сложноэфирные группы в основном плоские. Некоторое искажение испытывает амидная группа между C^α-атомами Нуи² и D-Val³ ($\Delta\omega_2$ 16°) и сложноэфирная группа между D-Val⁵ и Нуи⁶ ($\Delta\omega_5$ 12°). Конформационные состояния L- и D-остатков в найденной структуре отвечают минимумам, располагающимся соответственно в левой и правой частях конформационных карт изолированных остатков [9, 10, 21]. Причем большинство φ, ψ-точек находится в областях невысоких энергий. Исключение составляют φ, ψ-углы D-Val⁵, попадающие на перешек между двумя локальными минимумами. Как показывают расчеты [22], такая локализация объясняется включением этого остатка в 13-членный цикл, замкнутый водородной связью 5→1.

Все выявленные в [Val¹, D-Val³]мезо-Нуи-валиномицине отклонения геометрических параметров от оптимальных значений могли бы быть, по-видимому, частично уменьшены включением в уточнение структуры параметров водородных атомов (см., например, [10]).

Интересно сопоставить пространственные кристаллические структуры мезо-Нуи-валиномицина, состоящего из трех одинаковых тетрадепсинеп-

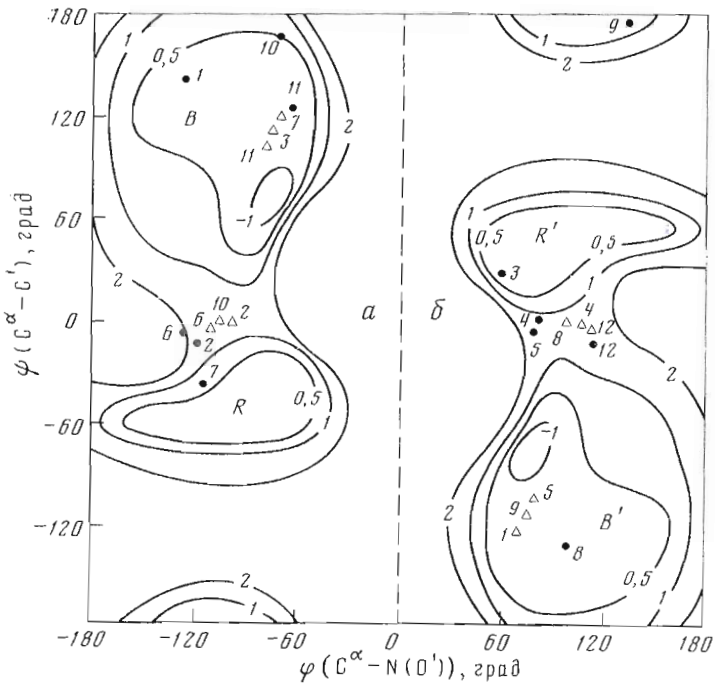


Рис. 4. Распределение углов ϕ , ψ [$\text{Val}^1\text{-}, \text{D-Val}^3\text{]meso-Hyi-ва-$
линомицина (отмечены идентификатором ●, числовой ин-
декс — номер остатка) и мезо-Hyi-валиномицина (Δ ; [9]) на
потенциальной поверхности остатка аланина в *L*- и *D*-кон-
фигурациях (*a* и *b* соответственно)

тидных фрагментов $D\text{-Val-Hyi-Val-D-Hyi}(\text{cyclo}(-D-L-L-D)_3)$ и исследуемого аналога ($\text{cyclo}[-L-L-D-D-(D-L-L-D)_2]$) с измененной конформацией двух аминокислотных остатков в первом и третьем положениях. Для наглядности параметры ϕ , ψ амино- и оксикислотных остатков обоих соединений напечатаны на конформационные карты с изображением энергетических контуров аланина в *L*- и *D*-конформациях (рис. 4). Такой условный выбор связан с тем, что потенциальная поверхность остатка аланина (обладающего максимальными конформационными возможностями среди остатков с боковыми цепями) охватывает все возможные конформационные состояния остатков валина и стерохимически подобной α -оксилизовалериановой кислоты и в отличие от потенциальной поверхности последних не зависит от ориентации боковой цепи.

Циклическая структура мезо-Hyi-валиномицина характеризуется наличием центра симметрии и псевдооси симметрии 3-го порядка [9]. В кристалле она принимает браслетную форму, стабилизированную системой из шести внутримолекулярных водородных связей типа 4→1, образованных амидными группами. Внутренняя октаэдрическая полость из шести сложноэфирных карбонильных атомов кислорода приспособлена для эффективного связывания ионов калия (константы устойчивости соответствующих комплексов на 1–2 порядка выше, чем у природного антибиотика валиномицина [23]).

В отличие от мезо-Hyi-валиномицина, [$\text{Val}^1\text{-}, \text{D-Val}^3\text{]meso-Hyi-ва-$
линомицини кристаллизуется в асимметричной вытянутой форме, образованной двумя β -изгибами, соединенными двумя относительно прямолинейными участками цепи.

У обоих соединений конформационные состояния идентичных октаден-
типентидных фрагментов ($D\text{-Val-Hyi-Val-D-Hyi})_2$ обнаруживают существенные различия; точки отдельных сравниваемых пар остатков заметно разнесены на конформационных картах в пределах одноименных минимумов и даже отвечают разным локальным минимумам.

Один из β -изгибов, относящийся в соответствии с классификацией Шегари и сотр. [24] к типу II, стабилизуется сильной водородной связью $N_1-H_1 \dots O_{10}=C_{10}$ типа $4 \rightarrow 1$, замыкающей 10-членный цикл, включающий остатки Val^{11} и $D-Hyi^{12}$. Второй β -изгиб типа I', включающий остатки $D-Val^3$ и $D-Hyi^4$, также стягивается сильной водородной связью $N_5-H_5 \dots \dots O_2=C_2$ типа $4 \rightarrow 1$. Эта связь перекрещивается со слабой водородной связью $N_7-H_7 \dots O_3=C_3$ типа $5 \rightarrow 1$.

Изопропильные боковые цепи окси- и аминокислотных остатков характеризуются различным расположением по отношению к циклическому остову молекулы.

В свободной форме данного аналога отсутствует характерная для мезо-Нуи-валиномицина отрицательно заряженная полость, образованная свободными карбонильными атомами кислорода сложноэфирных групп. Семь не участвующих в образовании водородных связей карбонильных групп ориентированы случайным образом. По-видимому, невысокая энергетическая стабилизация специфической, обладающей катионсвязывающим центром «браслетной» формы у $[Val^1, D-Val^3]$ мезо-Нуи-валиномицина, является причиной его относительно слабой комплексообразующей способности [14]. На низкую устойчивость «браслетной» конформации исследуемого соединения в растворах указывают также данные ИК-спектроскопии [14].

Таким образом, структурный анализ валиномицина и его производных позволяет сформулировать некоторые выводы.

В циклических соединениях валиномицинового типа трижды повторяющаяся конфигурационная последовательность остатков $D-L-L-D$ обладает оптимальными конформационными возможностями для формирования из карбонильных атомов кислорода энергетически предпочтительных специфических центров комплексообразования. Изменения конфигурации отдельных остатков оказывают наибольшее действие на конформационное состояние молекулы, приводя, как правило, к сильной дестабилизации или к полному разрушению таких центров; в результате существенно ослабляются или полностью теряются комплексообразующие, ионно-транспортные и антимикробные свойства [12].

Изменение природы остатков в этом плане оказывает заметно меньшее влияние; оно чаще всего сопровождается определенным сдвигом конформационного равновесия в пределах энергетически оптимальных (включая функционально активные) форм.

Экспериментальная часть

Кристаллы $cyclo[-Val-Hyi-D-Val-D-Hyi-(D-Val-Hyi-Val-D-Hyi)_{2-}] \cdot 2C_3H_6O$ выращены в форме неправильных призм из раствора ацетона и воды (3 : 1) при комнатной температуре. В кристаллической решетке на каждую молекулу циклического додекадипептида приходится по две молекулы ацетона. Полученные кристаллы имели следующие кристаллографические характеристики: пространственная группа $P1$, V 1982,27 \AA^3 , a 10,701 \AA , b 11,016 \AA , c 18,458 \AA , α 83,786°, β 66,415°, γ 87,826°, $\rho_{\text{твр}}$ 1,00 г/см³, $\mu(\text{Cu}K_{\alpha})$ 6,1 см⁻¹, $F_{\text{000}} 648$.

Пространственная группа кристалла $P1$ и параметры ячейки были определены по прецессионным рентгенограммам. Уточнение параметров ячейки и сбор экспериментальных данных проводились на четырехкручином дифрактометре Р1 при 18° С (излучение $\text{Cu}K_{\alpha}$, графитовый монохроматор, режим трубы 40 кВ и 30 мА, фокус трубы 0,4×1 мм). Интенсивности отражений измерялись в режиме $\theta-2\theta$ до величины 2θ 105° (4322 независимых рефлекса). Интервал 2θ сканирования профиля пика выбран равным 0,3°, общее число точек измерения на профиле 11. Интервал между точками измерения фона 0,8°. Суммарное время измерения фона слева и справа от пика равнялось половине времени измерения интегральной интенсивности пика. Величина минимальной скорости сканирования (0,4 град/мин) обеспечила высокую точность измерений; число зарегистрированных рефлексов с $I \geq 3\sigma(I)$, $I \geq 10\sigma(I)$ и $I \geq 25\sigma(I)$ составляло со-

ответствен по 85, 75 и 40% общего числа. Через каждые 6 ч съемки перемерялись 6 контрольных рефлексов.

Была проведена коррекция отражений на факторы Лоренца и поляризации, а также введены поправки на поглощение [25] и радиационное изражение кристалла. Найденные по вычисленным нормализованным структурным факторам E статистически усредненные значения $|E|$ 0,850 и $|E^2 - 1|$ 0,829 лучше соответствовали нецентросимметричной пространственной группе (теоретические значения равны соответственно 0,886 и 0,736 [26]), чем симметричной (0,798 и 0,968).

Расшифровка структуры проводилась «прямым» методами на основе комплекса программ QTAN [27]. Были выбраны 500 наибольших E с ограничением $E \geq 1,48$; число сформированных независимых Σ_2 -соотношений равнялось 3885 ($A_{\min} 1,2$), а число «отрицательных» квартетов для расчета оценки NQUEST [28] 511 ($B_{\min} 0,37$, Cross term 0,55). Для стартового набора было выбрано 10 рефлексов. Из них три рефлекса 1 2 0, 3 - 1 4 и 0 2 - 1 (E 3,17; 2,66 и 1,94 соответственно), образующие матрицу с детерминантом, равным 1, были использованы для фиксации начала координат.

Всего было рассмотрено 16384 решения. После 8 циклов тангенс-уточнения (с последовательным увеличением числа включенных в уточнение фаз до 458 и Σ_2 -соотношений до 3708) только у двух решений оценка NQUEST была отрицательной. Наилучшее решение, характеризующееся оценками NQUEST -0,06 (ожидаемое значение -0,42) Resid 0,26 и Cosav 0,70 (ожидаемое значение 0,64), отвечало верной структуре. Соответствующие оценки следующего вероятного решения равны -0,01; 0,29; 0,67. В E -синтезе, вычисленном по фазам наилучшего решения, были выявлены положения 66 неводородных атомов структуры. Стандартный R фактор на этой стадии был равен 0,39. В последующих синтезах Фурье удалось локализовать все 84 независимых неводородных атома исследуемого соединения плюс 8 атомов углерода и кислорода, относящихся к двум молекулам ацетона (компонент растворителя, в котором выращивались кристаллы).

Положения атомов водорода были определены теоретическим путем на основе стереохимических правил.

Уточнение структуры по параметрам неводородных атомов проводилось методом наименьших квадратов по полиноматричной схеме. При этом основная и боковые цепи уточнялись соответственно в предположении анизотропных и изотропных тепловых колебаний атомов C, N, O при учете вкладов от атомов H. Положения водородных атомов не уточнялись, так как это привело бы к резкому снижению числа экспериментальных амплитуд структурных факторов (до трех), приходящегося на переменный параметр.

Используемый в уточнении экспериментальный набор включал 3873 рефлекса; рефлексы с $F \leq 4\sigma(F)$ плюс 42 рефлекса, определенные как плохие из графика нормального распределения величин $\delta(R) = \|F_{\text{obs}} - |F_{\text{calc}}|\|/\sigma(F_{\text{obs}})$ [29], были исключены. Величины стандартных отклонений оценивались по следующей формуле [30]:

$$\sigma(F) = \text{SQRT}[K/L_p \cdot I(\sigma^2(I) + 0,06I)^2].$$

Структура молекулы после последнего цикла уточнения характеризовалась величинами стандартного фактора расходности R 0,081 и взвешенного фактора R_w 0,109.

Авторы выражают благодарность Ю. А. Овчинникову и В. Т. Иванову за постоянный интерес к работе и обсуждение результатов, а также Л. А. Феиной за предоставление циклического додекадезоксипептида.

ЛИТЕРАТУРА

1. Ivanov V. T., Laine J. A., Abdulaev N. D., Senyavina L. B., Popov E. M., Ovchinnikov Yu. A., Schemyakin M. M. Biochem. and Biophys. Res. Commun., 1969, v. 34, № 6, p. 803-811.
2. Bystrov V. F., Gavrilov Yu. D., Ivanov V. T., Ovchinnikov Yu. A. Eur. J. Biochem., 1977, v. 78, № 1, p. 63-82.
3. Smith G. D., Duax W. L., Langs D. A., DeTitta G. T., Edmonds J. W., Rohrer D. C., Weeks C. M. J. Amer. Chem. Soc., 1975, v. 97, p. 7242-7247.

4. Karle I. J. Amer. Chem. Soc., 1975, v. 97, p. 4379—4386.
5. Pinkerton M., Steinrauf L. K., Dawkins P. Biochem. and Biophys. Res. Commun., 1969, v. 35, № 4, p. 512—518.
6. Neupert-Laves K., Dobler M. Helv. chim. acta, 1975, v. 58, p. 432—442.
7. Плетнєв В. З., Галицкий Н. М., Іванов В. Т., Овчинников Ю. А. Біоорган. хімія, 1977, т. 3, № 10, с. 1427—1429.
8. Васильев А. Д., Шибанова Т. А., Айдрианов В. Т., Симонов В. И., Санасарян А. А., Іванов В. Т., Овчинников Ю. А. Біоорган. хімія, 1978, т. 4, № 9, с. 1157—1163.
9. Pletnev V. Z., Galitsky N. M., Ivanov V. T., Ovchinnikov Yu. A. Biopolymers, 1979, v. 18, p. 2145—2166.
10. Pletnev V. Z., Galitskii N. M., Smith G. D., Weeks C. M., Duax W. L. Biopolymers, 1980, v. 19, p. 1517—1534.
11. Смирнова В. И., Тищенко Г. Н., Вайнштейн Б. К. Докл. АН ССР, 1981, т. 257, № 4, с. 879—884.
12. Овчинников Ю. А., Іванов В. Т., Шкроб А. М. Мембрano-активные комплексы. М.: Наука, 1974.
13. Санасарян А. А., Фонина Л. А., Швецов Ю. Б., Виноградова Е. И. Химия природн. соедин., 1971, № 1, с. 81—85.
14. Іванов В. Т., Санасарян А. А., Фонина Л. А., Сенявина Л. Б., Виноградова Е. И., Овчинников Ю. А., Червін І. П., Яковлев Г. Н. Біоорган. хімія, 1975, т. 1, № 2, с. 214—225.
15. Плетнєв В. З., Галицкий Н. М., Туркін Н. Г., Тарнопольський Б. Л., Евстратов А. В. Біоорган. хімія, 1977, т. 3, № 7, с. 869—878.
16. Hamilton W. C., Ibers J. A. Hydrogen Bonding in Solids. N. Y.: W. A. Benjamin, 1968.
17. McGuire R. F., Momany F. A., Scheraga H. A. J. Phys. Chem., 1972, v. 76, № 3, p. 375—393.
18. Chidambaram R., Balasubramanian R., Ramachandran G. N. Biochim. et biophys. acta, 1970, v. 221, p. 182—195.
19. Ramakrishnan C., Prasad N. Int. J. Prot. Res., 1971, v. 11, № 4, p. 209—231.
20. IUPAC-IUB Commission on Biochemical Nomenclature. Abbreviations and Symbols: for Description of Conformation of Polypeptide Chains.— Pure Appl. Chem., 1974, v. 40, p. 293—308.
21. Попов Е. М., Липкинд Г. М., Плетнєв В. З., Архипова С. Ф. Химия природн. соедин., 1971, № 2, с. 184—191.
22. Попов Е. М., Липкинд Г. М. Молекулярн. біологія, 1971, т. 5, вип. 4, с. 624—636.
23. Іванов В. Т., Санасарян А. А., Червін І. П., Яковлев Г. Н., Фонина Л. А., Сенявина Л. Б., Сильєв С. В., Виноградова Е. И., Овчинников Ю. А. Изв. АН ССР. Сер. хим., 1974, № 10, с. 2310—2311.
24. Lewis P. N., Momany F. A., Scheraga H. A. Biochim. et biophys. acta, 1973, v. 303, p. 211—229.
25. North A. C. T., Phillips D. C., Mathews F. S. Acta crystallogr., 1968, v. A24, part 3, p. 351—359.
26. Crystallographic Computing Techniques / Ed. Ahmed F. R. Copenhagen: Munksgaard, 1976.
27. Langs D. A., De Titta G. T. Acta crystallogr., 1975, v. A31, part 3S, p. 16.
28. De Titta G. T., Edmonds J. W., Langs D. A., Hauptman H. Acta crystallogr., 1975, v. A31, part 4, p. 472—479.
29. Abrahams S. C., Keve E. T. Acta crystallogr., 1971, v. A27, part 2, p. 157—165.
30. Stout G. H., Jensen L. H. X-ray Structure Determination. London: Macmillan, 1969, p. 457.

Поступила в редакцию
17.VIII.1981

CRYSTAL AND MOLECULAR STRUCTURE OF CYCLIC DODECADEPSIPEPTIDE *cyclo*[-Val-Hyi-D-Val-D-Hyi-(D-Val-Hyi-Val-D-Hyi)₂-]·2C₃H₆O

PLETNEV V. Z., POPOVICH V. A., YURKOVA E. V.,
VAN ROEY P., SMITH G. D., DUAX W. L.

*M. M. Shemyakin Institute of Bioorganic Chemistry, Academy
of Sciences of the USSR, Moscow; Medical Foundation of Buffalo, Buffalo*

The crystal structure of synthetic analog of *meso*-valinomycin — *cyclo*[-Val-Hyi-D-Val-D-Hyi-(D-Val-Hyi-Val-D-Hyi)₂-], crystallized with two acetone molecules, has been solved by X-ray direct methods. The triclinic crystals belong to the *P1* space group, the number of the molecules in the unit cell *Z*1, cell dimensions are *a* 10,701, *b* 11,016, *c* 18,458 Å, α 83,786°, β 66,415°, γ 87,826°. The standard (*R*) and weighted (*R*_w) factors after the structure refinement on atoms C, N, O taking into account the contribution from atoms H are 0.081 and 0.109, respectively. The molecule adopts an elongated conformation with two β -bends stabilized by two strong 4→1 and one weak 5→1 hydrogen bonds. The carbonyls and the side chains are oriented arbitrarily towards the cyclic frame of the molecule. In contrary to *meso*-Hyi-valinomycin the free form of the analog studied is characterized by the absence of specific binding site for the metal ions.